

항 AIDS약물 Dioxolane-T와 관련성이 있는 Dioxolane 뉴클레오사이드 합성

유정만 · 서희경 · 최보길* · 정병호 · 홍준희* · 천문우*

전남대학교 약학대학, *서울대학교 약학대학

(Received October 11, 1993)

Synthesis of Dioxolane-T Related Nucleosides as Potential Anti-HIV Agent

Jung Man Yoo, Hee Kyung Seo, Bo Gil Choi*, Byung Ho Chung,

Joon Hee Hong*, and Moon Woo Chun*

College of Pharmacy, Chonnam National University, Kwangju 500-757, Korea

*College of Pharmacy, Seoul National University, Seoul 152-742, Korea

Abstract— Two new 6-azauracil dioxolane nucleosides which are related to Dioxolane T and expected to have anti-HIV activity were asymmetrically synthesized. The key intermediate **8** have been synthesized in ten steps from D-mannose and condensed with 6-azauracil to give **13** and **14** after desilylation, respectively.

Keyword □ 6-azauracil, D-mannose, 1,6-anhydro-D-mannose, dioxolane nucleoside, anti-HIV agent, (\pm)-dioxolane-T.

후천성 면역결핍증(Acquired immune deficiency syndrome, AIDS)은 1981년 처음 알려진 이래 매년 환자가 급증하고 있고 치사율도 높아 전 세계적으로 관심의 대상이 되고 있는 바이러스성 감염질환이다. 최근 AIDS치료제개발의 일환으로 AIDS원인균인 Human Immunodeficiency Virus(HIV)에 활성성이 있는 항 HIV약물에 대한 연구가 많이 진행되고 있는데^{1,2,3)} 특히 HIV의 reverse transcriptase(RT)억제제 개발에 대한 연구는 큰 진전을 보이고 있다. 미국 FDA의 허가에 의해 임상적으로 사용되는 RT억제약물로는 AZT,⁴⁾ DDI⁵⁾ 및 DDC⁶⁾ 등이 있으며 이외에도 D4T,⁷⁾ AZdU,⁸⁾ HEPT⁹⁾ 등 다수가 임상시험중에 있다(Fig. 1).

그러나 현재 임상적으로 사용되고 있는 약물들은 골수억제, 말초신경염, 췌장염 등 독성이 있을 뿐 아니라¹⁰⁾ 또한 이들 약물을 연용한 환자에게서 내성균주가 발견되고 있어¹¹⁾ 보다 독성이 적고 교차내성이

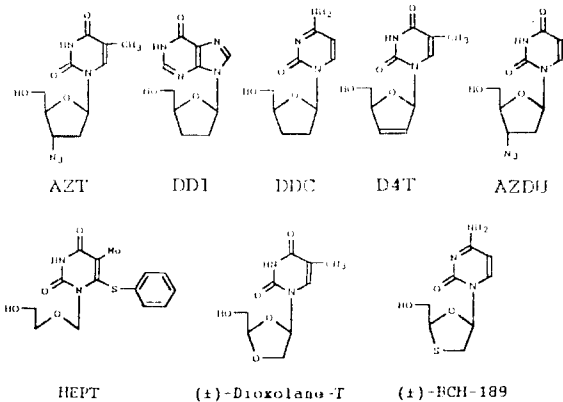
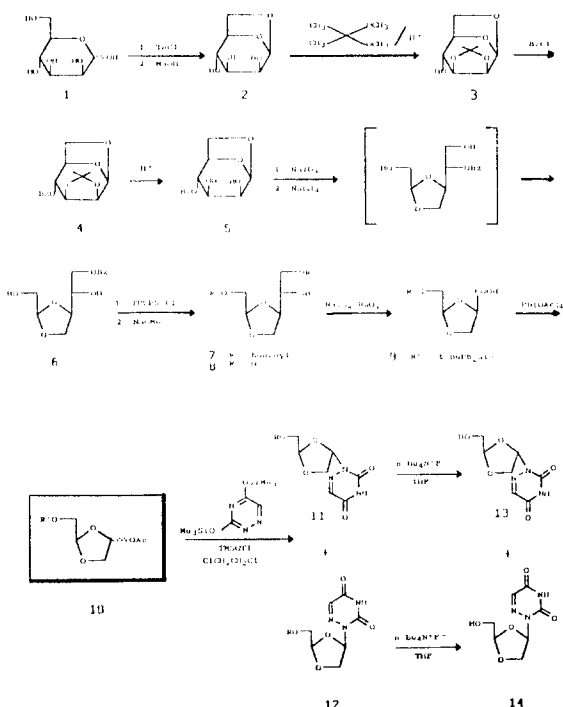


Fig. 1—RT inhibitors

없는 약물이 끊임없이 요구되고 있다.

최근 nucleoside의 당부분을 수식한 일종의 새로운 형태의 nucleoside로서 당의 3'위치의 탄소대신 산소로

* 본 논문에 관한 문의는 이 저자에게로.



Scheme 1

치환한 (\pm)Dioxolane-T¹²⁾나 황원자로 치환한 (\pm)BCH-189¹³⁾이 항 HIV활성이 있는 것으로 보고되었는데 특히 BCH-189의 광학이성체인 3TC는 AZT정도의 높은 항 HIV활성을 나타낼 뿐 아니라 독성이 적고 B형 간염바이러스에 대한 활성도 있음이 알려져 최근 크게 주목을 받고 있다.¹⁴⁾ 한편, Chu 등은 이들 nucleoside의 광학이성질체가 더욱 활성이 크리라고 기대하여 carbohydrate를 chiral template로 하여 dioxolane-T 및 BCH-189의 enantiomer의 합성법을 확립함과 동시에 다수의 광학활성이 있는 dioxolane 및 oxathiolanyl nucleoside류를 합성하고 이들이 라세미흔합물보다 항 HIV활성이 우수하다는 사실과 구조활성관계를 밝힌 바 있다.¹⁵⁻¹⁸⁾

본인들은 이들 nucleoside류 중 다수의 enantiomer가 라세미흔합물보다 활성이 크다는 것과 natural base가 아닌 unnatural base의 nucleoside도 물질에 따라서는 활성이 크다는 사실을 감안해서 우선 Chu 등의 방법¹⁷⁾에 따라 key intermediate인 화합물 10을 먼저 합성하고 여기에 6-azauracil을 축합시켜 목적

하는 광학활성이 있는 6-azauracil dioxolane nucleoside를 합성하고자 하였다(Scheme 1).

실험방법

시약은 Aldrich Chemical Co.제 제품을 사용하였다.

용접측정은 Gallenkamp MFB 030 G-용접측정기를 사용하여 보정없이 측정하였다. TLC는 precoated된 실리카겔 60F254 plate(Merck제품)를 사용하고 칼럼 크로마토그래피는 실리카겔 60(70~230 mesh, Merck제품)을 사용하였다.

IR스펙트럼은 Perkin-Elmer 783형의 적외선 분광도계로, UV스펙트럼은 Unikon 930의 UV/Vis분광도계로 각각 측정하였다.

$^1\text{H-NMR}$ 스펙트럼은 Bruker 80sy FT-NMR을 사용하여 측정하였으며 내부표준물질로는 TMS를 사용하였고 chemical shift는 δ (ppm)단위로 나타내었다.

선판도측정은 JASCO DIP-360 digital polarimeter를 이용하여 측정하였다.

1,6-anhydro- β -D-mannopyranose(2)의 합성 – 온도계가 부착된 반응용기에서 피리딘 450 ml에 D-Mannose 100 g(0.56 mol)을 녹인 후 mechanical stirrer를 이용하여 교반하면서 피리딘 450 ml에 *p*-toluene sulfonylchloride 158.7 g(0.83 mol)을 녹인 용액을 적가하면서 반응온도는 15~20°C를 유지하였다. 적가가 끝난 후 30분 더 반응시키고 나서 3N-NaOH를 가하여 pH 9로 조정하고 90분간 방치한 후 30분 더 반응시키고 나서 3N-NaOH를 가하여 pH 9로 조정하고 90분간 방치한 후 다시 3N-HCl로 pH 7로 낮추고 감압하에서 용매를 제거하였다. 톨루엔을 수차례 가해 피리딘과 공비점을 이용, 소량 남은 피리딘을 제거하고 무수 에탄올을 가해 반고형의 덩어리를 잘게 부순 후 230 mesh의 실리카겔막 층으로 여과하고 TLC상에서 당이 검출되지 않을 때까지 에탄올로 잔류물을 수회 세척하였다. 세액까지 합쳐 감압농축하여 목적하는 crude 1,6-anhydro- β -D-mannopyranose를 얻어 다음 반응에 그대로 사용하였다.

1,6-Anhydro-2,3-isopropylidene- β -D-mannopyranose(3)의 합성 – 1,6-anhydro-D-mannose(2)를 아세톤 800 ml에 가하고 약 30분간 가온하면서 교반한 다음 dimethoxypropane 300 ml와 *p*-toluenesulfonic

acid 5 g을 가해 mannose가 TLC상에서 검출되지 않을 때까지 반응시켰다. triethylamine을 가해 pH 8로 조정한 후 여과하여 백색의 고형물질을 제거하고 감압농축하여 용매를 제거하였다. 다시 아세톤을 가해 실리카겔 층으로 여과한 다음 감압농축하여 용매를 제거하여 crude 2,3-acetonide를 얻고 에틸아세테이트로 재결정하여 무색의 침상 결정을 얻었다.

수득율 : 23.7 g(21%)

mp : 162~163°C (lit.¹⁷⁾ 161~162°C)

$[\alpha]_D^{20} = -45.39$ (C=0.05 in MeOH)

IR_{max}^{KBr} cm⁻¹ : 3500, 1385

¹H-NMR(CDCl₃) : δ 1.32, 1.53(6H, s, 2×CH₃) 3.69~4.54(5H, m, H-2,3,4,5) 5.32(1H, s, H-1)

(-) -1,6-anhydro-4-benzoyl-2,3-isopropylidene-β-D-mannopyranose(4)-2,3-acetonide(3) (17.7 g, 87.6 mmol)을 140 mL의 피리딘용매에 녹인 다음 0°C에서 교반하면서 benzoyl chloride(13.3 mL, 0.11 mol)를 서서히 적가하고 40분 더 반응시킨 후 얼음을 가해 15분간 교반하여 반응물을 종결시켰다. 감압농축하여 용매를 제거한 다음 다시 에틸아세테이트를 가해 용해시키고 포화 NaHCO₃용액, 포화식염수의 순으로 수회 세척하고 무수황산나트륨을 가해 수분을 제거하였다. 감압농축하여 용매를 제거하고 황색 결정을 얻고 에탄올에서 재결정하여 무색의 결정을 얻었다.

수득율 : 25.54 g(95%)

$[\alpha]_D^{20} = -85.44$ (C=0.05 in MeOH)

mp : 136~138°C (lit.¹⁷⁾ 134~135°C)

IR_{max}^{KBr} cm⁻¹ : 1710, 1270

¹H-NMR(CDCl₃) : δ 1.32, 1.53(6H, s, 2×CH₃) 3.72~4.74(5H, m, H-2,3,5,6) 5.26(1H, s, H-4) 5.41(1H, s, H-1) 7.44~8.15(5H, m, phenyl)

(-) -1,6-anhydro-4-benzoyl-D-mannopyranose(5)-화합물 4(25.4 g, 83 mmol)를 60% dioxane 수용액(2 L)에 녹이고 c-H₂SO₄ 8.5 mL를 가해 70~80°C에서 15시간 교반하였다. 반응물을 ice bath상에서 냉각하고 포화 NaHCO₃수용액으로 중화한 다음 약 1/2량으로 농축시켜 에틸아세테이트로 3회 추출하여 유기층을 포화 NaHCO₃액, 물로 세척하고 무수 Na₂SO₄로 처리하여 여과하였다. 여액을 감압농축하여 백색물질을 얻었다.

수득율 : 21.6 g(96.7%)

mp : 117~119°C (lit.¹⁷⁾ 124~125°C)

$[\alpha]_D^{20} = -137.82$ (C=0.051 in MeOH)

IR_{max}^{KBr} cm⁻¹ : 3565, 3400, 1690

¹H-NMR(CDCl₃) 3.58~4.39(5H, m, H-2, -3, -5 및 -6) 4.70(1H, d, J=5.8 Hz, OH) 5.17(1H, s, H-4), 5.47(1H, s, H-1) 7.26~8.13(5H, m, phenyl)

(+)-(2R,4R,1S')-4-(2-O-benzoyl-1-hydroxyethyl)-

2-(hydroxymethyl)-dioxolane(6)-화합물 5(20.3 g, 76.3 mmol)를 95%에탄올 550 mL에 녹인 용액에 NaIO₄ (17.94 g, 84.2 mmol)을 물 550 mL에 녹인 수용액을 가해 1시간 실온에서 교반시켜 diol을 충분히 aldehyde로 전환시켰다. 반응물을 1/2로 농축하고 5°C로 냉각하면서 NaBH₄(11.52 g, 0.305 mmol)를 5분에 걸쳐 소량씩 가한 후 10분간 더 교반한 다음 빙초산을 가해 quenching하고 감압농축하여 황색 유상물질을 얻었고 이를 칼럼크로마토그래피를 이용 분리하여 무색의 유상물질을 얻어 Et₂O-hexane을 사용, 재결정하여 백색 결정을 얻었다.

수득율 : 11.18 g(54.7%)

mp : 44~48°C (lit.¹⁷⁾ 46~48°C)

$[\alpha]_D^{20} = +3.56$ (C=0.051 in MeOH)

IR_{max}^{KBr} cm⁻¹ : 3500, 1690, 1290

¹H-NMR(CDCl₃) : 83.75(2H, d, J=2.8 Hz, CH₂OH) 3.96~4.78(6H, m, H-4,5, CH₂OBz 및 CHOH) 5.03(1H, t, J=2.2 Hz, H-2) 7.41~8.08(5H, m, phenyl)

(+)-(2R, 4R, 1'S)-4-(2-O-benzoyl-1-hydroxyethyl)-

2-(tert-butylidiphenylsilyloxyethyl)-dioxolane(7)-화합물 6(11.18 g, 41.5 mmol)을 160 mL의 무수 DMF (molecular sieve 4Å)에 용해하고 imidazole(8.14 g, 120 mmol)과 *t*-butyldiphenylsilyl chloride(12.6 g, 45.8 mmol)를 가해 실온에서 2시간 교반하고 반응물을 농축하여 황색 유상물질을 얻었는데 이를 칼럼크로마토그래피(hexane-EtOAc, 1 : 2)로 분리하여 무색의 유상물질을 얻었다.

수득율 : 19.7 g(93%)

$[\alpha]_D^{20} = +2.82$ (C=0.059 in MeOH)

IR_{max}^{neat} cm⁻¹ : 3480, 1725

¹H-NMR(CDCl₃) : 81.06(9H, s, *t*-Bu) 3.65~3.78(3H, m, TBDPS-O-CH₂- 및 CHOH) 3.96~4.19(3H, m, H-4,H-5) 4.40~4.48(2H, m, CH₂OBz) 5.05(1H, t, J=3.3 Hz, H-2) 7.25~8.09(15H, m, 3×phenyl)

(+)-(2R, 4R, 1-S)-2-(*tert*-butyldiphenylsilyoxymethyl)-4-(1,2-dihydroxyethyl)-dioxolane(8) — 화합물 6
 (17.31 g, 34.4 mmol)을 MeOH 40 mL에 녹인 후 NaOMe(7.64 mL, 0.51 mmol)의 MeOH-용액을 가해 실온에서 2시간 교반하였다. 반응물을 초산으로 quenching시켜 농축한 뒤 잔류물을 EtOAc-H₂O로 추출하고 수층은 다시 에틸아세테이트로 재추출하여 함께 합한 다음 유기층을 포화 NaHCO₃, H₂O를 처리하고 무수 Na₂SO₄로 건조시킨 후에 칼럼크로마토그래피(hexane-EtOAc)로 분리하여 무색 유상 물질을 얻었다.

수득율 : 13.1 g(95%)

[α]_D²⁰ = +6.86(C = 0.186 in MeOH)

IR_{max}^{neat} cm⁻¹ : 3420, 1430

¹H-NMR(CDCl₃) : δ1.06(9H, s, *t*-Bu) 3.62~3.85(3H, m, H-4, -5) 5.01(1H, t, J = 2.4 Hz, H-2) 7.25~7.87(10H, m, 2x phenyl)

(+)-(2R, 4R)-2-(*tert*-butyldiphenylsilyoxymethyl)dioxolane-4-carboxylic acid(9) — 화합물 8(9.95 g, 24.9 mmol)을 아세토니트릴 50 mL, 사염화탄소 50 mL 및 물 75 mL의 혼합용매에 녹이고 NaIO₄(22.33 g, 104.5 mmol)와 RuO₂(52.9 mg)를 가하고 실온에서 5시간 맹렬히 교반하였다. 이 반응물에 CH₂Cl₂ 250 mL를 가해 분리된 수층은 다시 CH₂Cl₂를 가해 추출하여 합치고 이를 물로 세척한 다음 농축하여 crude한 갈색유상물질을 얻어 정제함이 없이 다음 반응에 사용하였다. 분석용으로 미량시료를 칼럼크로마토그래피로 정제하여 거품모양의 백색물질을 얻었다.

수득율 : 8.12 g(84.8%)

[α]_D²⁰ = +5.158(C = 0.68 in MeOH)

IR_{max}^{KBr} cm⁻¹ : 1730, 1430

¹H-NMR(CDCl₃) : δ1.07(9H, s, *t*-Bu) 3.58~4.75(5H, m, H-4, 5, CH₂OTBDPS) 5.07(1H, d, J = 1.4 Hz, H-2') 7.25~7.70(10H, m, 2x phenyl)

(2R, 4R)- 및(2R, 4R)-4-acetoxy-2-(*tert*-butyldiphenylsilyoxymethyl)dioxolane(10) — 화합물 9(7.5 g, 19.3 mmol)를 165 mL의 에틸아세테이트에 녹인 용액에 피리딘과 Pb(OAc)₄(10.76 g, 24.3 mmol)를 가하고 실온에서 질소기류중에서 15시간 교반하였다. 반응물을 실리카겔 막 층으로 여과하고 여액을 농축하여 칼럼크로마토그래피(hexane-EtOAc, 2 : 1)로 분리하여 무

색 유상물질을 얻었다.

수득율 : 5.54 g(71.2%)

¹H-NMR(CDCl₃) : δ1.06, 1.07(9H, s, *t*-Bu) 1.94~2.09(1H, s, CH₃) 3.70~4.15(4H, m, H-5, CH₂OTBDPS) 5.25, 5.37(1H, t, J = 4.4 Hz, J = 5.0 Hz, H-2) 6.26~6.43(1H, m, H-4) 7.25~7.75(10H, m, 2x phenyl)

(-)-(2R, 4R)-1-[2-(*tert*-butyldiphenylsilyoxymethyl)-1, 3-dioxolan-4-yl]-6-azauracil(11) 및 (+)-(2R, 4S)-1-[2-(*tert*-butyldiphenylsilyoxymethyl)-1, 3-dioxolan-4-yl]-6-azauracil(12) — 먼저 6-azaruacil(0.56 g, 4.95 mmol)을 hexamethyldisilazane 63 mL에 가하고 여기에 (NH₄)₂SO₄를 소량 가하여 5시간 환류시키면서 반응시켰다. 얻어지는 투명한 용액을 무수조건하에서 감압농축하여 무색유상물질로서 얻어진 실릴화된 6-azauracil을 20 mL의 무수 1,2-dichloroethane에 녹인 용액에 역시 화합물 10(1g, 2.5 mmol)을 20 mL의 무수 1,2-dichloroethane에 녹여 혼합하고 여기에 TM-SOTf를 5°C로 유지하면서 가하여 반응물을 질소기류중에 1시간 교반한 다음 포화 NaHCO₃를 가하여 실온에서 30분 더 교반하여 반응을 정지시켰다.

유기층을 취하고 수층은 다시 CH₂Cl₂로 추출하여 합치고 포화 NaHCO₃, 물 및 건조 Na₂SO₄로 처리하여 여과하고 여액을 농축해서 얻은 잔류물을 칼럼크로마토그래피(EtOAc/hexane, 1 : 1)로 분리하여 거품모양의 화합물 11(R_f = 0.54) 및 12(R_f = 0.65)를 얻었다.

화합물 11

수득율 : 0.24 g(17.0%)

[α]_D²⁰ = -43.71(C = 0.11 in MeOH)

IR_{max}^{KBr} cm⁻¹ : 3200, 1730, 1430

UV_{max}^{MeOH} nm : 262(ε 6,700)

¹H-NMR(DMSO-d₆) : δ1.04(9H, s, *t*-Bu) 3.45(2H, dd, J = 5.61, 1.60 Hz, H-5') 4.04(1H, dd, J = 9.62, 5.61 Hz, Ha-2') 4.27(1H, dd, J = 9.62, 2.40 Hz, H_b-2') 5.17(1H, t, J = 4.17 Hz, H-4') 6.38(1H, dd, J₁', ₂'a = 5.61 Hz, J₁', ₂'b = 2.40 Hz, H-1') 7.12~7.70(10H, m, 2x phenyl) 7.25(1H, s, H-5) 8.90(1H, br, s, NH)

화합물 12

수득율 : 0.28 g(20.0%)

[α]_D²⁰ = +55.13(C = 0.09 in MeOH)

IR_{max}^{KBr} cm⁻¹ : 3200, 1730, 1430

UV_{max}^{MeOH} nm : 262(ε 7,800)

¹H-NMR(DMSO-d₆): δ 1.07(9H, s, t-Bu) 3.72(2H, d, J_{5'}, 4'=3.2 Hz, H-5') 4.29(2H, dd, J=5.61, 2.24 Hz, H-2') 5.50(1H, t, J_{4'}, 5'=3.2 Hz, H-4') 6.56(app t, J_{1'}, 2'=5.59, 4.21 Hz, H-1') 7.34~7.75(10H, m, 2×phenyl) 7.50(1H, s, H-5) 9.35(1H, s, NH)

(-)-(2R,4R)-1-(2-Hydroxymethyl-1,3-dioxolan-4-yl)-6-azauracil(**13**)—화합물 **11**(0.18 g, 0.40 mmol)을 7 mL의 THF용매에 가하고 여기에 1M-Bu₄N⁺F⁻ 0.42 mL를 가해 실온에서 1시간 교반한 다음 감압농축하여 잔류물을 칼럼크로마토그래피로 정제하여 백색의 고상물질을 얻었다.

수득율 : 0.068 g(80%)

[α]_D²⁰= -100.14(C=0.18 in MeOH)

IR_{max}^{KBr} cm⁻¹ : 3330, 1700

UV_{max}^{MeOH} nm : 262(ε 4,500)

¹H-NMR(DMSO-d₆): δ 3.47(1H, d, J=4.3 Hz, H-5' 4.03(1H, dd, J_{2a'},_{2b'}=9.4 Hz, J_{2a'},_{1'}=6.0 Hz, Ha-2') 4.27(dd, J_{2b'},_{2a'}=9.4 Hz, J_{2b'},_{1'}=2.6 Hz, 1H, Hb-2') 4.99(1H, t, J=4.4 Hz, H-4') 6.35(1H, dd, J_{1'},_{2'},_{3'}=6.0 Hz, J_{1'},_{2b'},_{5'}=2.6 Hz, H-1') 7.55(1H, s, H-5)

(+)-(2R, 4S)-1-(2-Hydroxymethyl-1,3-dioxolan-4-yl)-6-azauracil(**14**)—화합물 **12**(0.22 g, 0.48 mmol)를 8.5 mL의 THF용매에 가하고 여기에 1M-Bu₄N⁺F⁻를 가해 실온에서 1시간 교반한 다음 감압농축하여 잔류물을 실리카겔칼럼 크로마토그래피로 정제하여 백색의 고상물질을 얻었다.

수득율 : 0.080 g(76.9%)

[α]_D²⁰= +85.68(C=0.19 in MeOH)

IR_{max}^{KBr} cm⁻¹ : 3450, 1700

UV_{max}^{MeOH} nm : 262(ε 4,900)

¹H-NMR(DMSO-d₆): δ 3.42(2H, dd, J_{5'},_{OH}=6.0 Hz, J_{5'},_{4'}=3.7 Hz, H-5') 4.11(1H, dd, J_{2a'},_{2b'}=8.3 Hz, J_{2a'},_{1'}=4.2 Hz, Hb-2') 4.28(1H, dd, J_{2b'},_{2a'}=8.3 Hz, J_{2b'},_{1'}=5.8 Hz, 1H, Ha-2') 4.87(1H, t, J_{4'}=3.7 Hz, H-4') 5.23(1H, t, J_{OH'},_{5'}=6.0 Hz, OH) 6.40(1H, app.t, J_{1'},_{2'},_{3'}=5.8 Hz, J_{1'},_{2'},_{5'}=4.2 Hz, H-1') 7.57(1H, s, H-5) 12.21(1H, br, s, NH)

결과 및 고찰

목적물질인 6-Azauracil dioxolane 뉴클레오사이드는 dioxolane의 enantiomer 합성법인 Chu 등의 방법¹⁷⁾에

준해 합성하였다. 우선 출발물질로서 D-mannose를 사용하여 Frazer-Reid 등¹⁹⁾에 의해 chiral template인 1,6-anhydro-D-mannose를 합성하고 화합물 **2**의 cis-diol을 산의 존재하에 아세톤용매중에서 dimethoxypropylene을 반응시켜 화합물 **3**인 2,3-acetonide를 만든 다음 4'의 일급 알코올을 benzoyl화하여 OH기를 보호하면서 묽은 황산처리를 하여 선택적으로 isopropylidene기를 제거함으로서 화합물 **5**인 1,6-anhydro-4-benzoyl-D-mannose를 합성하였다. NaIO₄로 화합물 **5**의 cis diol을 산화시켜 알데히드를 얻어 이를 NaBH₄로 환원하여 원하는 dioxolane 구조의 유도체를 얻었으며 화합물 **5**의 이급 알코올에 결합되어 있는 benzoyl기가 일급 알코올로 전이되었다. 화합물 **6**을 일급 OH기를 선택적으로 보호할 목적으로 imidazole 존재하에 t-butylidiphenylsilyl chloride를 가해 silyl화하여 화합물 **7**을 얻고 이를 NaOMe로 처리하여 benzoyl기를 제거하여 화합물 **8**을 합성하였다. cis-diol을 Nuenz등의 방법²⁰⁾에 따라 NaIO₄/RuO₂로서 산화하여 산인 화합물 **9**를 얻어 이를 Pb(OAc)₄로 처리하여 산화적 탈탄산을 일으켜¹²⁾ key intermediate인 화합물 **10**을 얻었다. 목적하는 화합물 **13** 및 **14**를 얻기 위해 우선 6-azauracil을 HMDS로 silyl화시키고 이를 화합물 **10**과 TMSOTf를 무수반응조건 하에서 반응시켜 화합물 **11** 및 **12**인 α, β 체의 혼합물(1:1.2)을 얻어 칼럼크로마토그래피로 화합물 **11** 및 **12**를 각각 분리하여 이를 (Bu)₄N⁺F⁻를 처리하여 목적하는 화합물 **13** 및 **14**를 각각 얻었다. 이들 nucleoside들의 α, β 체는 NMR data에¹⁷⁾ 의해 결정하였는데 furanose 형태로 명명한 dioxolane의 특징적인 피이크는 문헌에서와 같이 α 체 **11** 및 **13**의 경우 H-1'가 doublet-doublet로 분명히 분열되나 β 체 **12** 및 **14**의 경우 pseudo triplet의 형태로 나타났다. IR스펙트럼은 실릴화된 **11** 및 **12**의 경우 3200 cm⁻¹에서 NH의 피이크 및 1730 cm⁻¹에서 C=O의 피이크가 나타났으며, **13** 및 **14**의 경우 3450 cm⁻¹에서 OH의 피이크 및 1700 cm⁻¹에서 C=O의 피이크가 각각 나타났다. UV스펙트럼은 화합물 **11** 및 **12**의 경우 264 nm에서 흡수극대 피이크를 볼 수 있었으며 **13** 및 **14**의 경우도 같은 부근에서 나타났다. 선광도 값은 α 체인 **11** 및 **13**은 모두 -값을 가지나, β 체인 **12** 및 **14**는 +값을 가졌다.

결 론

D-Mannose를 출발물질로 하여 Chu등의 방법에 따라 열단계를 거쳐 key intermediate인 dioxolane acetate를 합성하고 여기에 6-azauracil을 축합시켜 목적하는 광학적으로 활성인 6-azauracil dioxolane nucleoside 2종(**13,14**)을 새로 합성하였다.

감사의 말씀

본 연구는 1991년도 교육부지원 한국학술진흥재단의 자유공모과제 학술연구조성비에 의하여 연구되었으며 이에 깊은 감사를 드립니다.

문 헌

- 1) De Clercq, E: Chemotherapeutic approaches to the treatment of the acquired immune deficiency syndrome(AIDS). *J. Med. Chem.* **29**, 1562 (1986).
- 2) Yarchoan, R., Mitsuya, H. and Broder, S.: Therapeutic Strategies in the treatment of AIDS. *Ann. Rep. Med. Chem.*, **23**, 253 (1988).
- 3) Norbeck, D.W. and Kempf, D.J.: HIV protease inhibitors. *Ann. Rep. Med. Chem.*, **26**, 141 (1991).
- 4) Mitsuya, H., Weinhold, K.J., Furman, P.A., St. Clair, M.H., Lehrman, S.N., Gallo, R.C., Bologneai, D., Barry, B.W. and Broder, S.: 3'-Azido-3'-deoxy-thymidine: An antiviral agent that inhibits the infectivity and cytopathic effect of human T-lymphotropic virus type *in vitro*. *Proc. Natl. Acad. Sci. U.S.A.* **82**, 7096 (1985).
- 5) Lambert, J.S., Seidlin, M., Reichman, R.C., plank, C.S., Laverty, M., Morse, G.D., Knupp, C., McLaren, C., Pettinelli, C., Valentine, F.T., Dolin, R. 2', 3'-dideoxyinosine(ddI) in patients with the acquired immunodeficiency syndrome or AIDS-related Complex. *N. Eng. J. Med.* **332**, 1333 (1990).
- 6) Mitsuya, H. and Broder, S.: Inhibition of the *in vitro* infectivity and cytopathic effect of human T-lymphotropic virus type III/lymphadenopathy-associated virus (HTLV-III/LAV) by 2',3'-dideoxynucleosides. *Proc. Natl. Acad. Sci. U.S.A.* A5/83, 1911 (1986).
- 7) Lin, T.-S., Schinazi, R.F. and Prousoff, W.H.: Potent and selective *in vitro* activity of 3'-deoxythymidin-2'-ene(3'-deoxy-2'3'-didehydrothymidine) against human immunodeficiency virus. *Biochem. Pharmacol.* **36**, 2713 (1987).
- 8) Chu, C.K., Schinazi, R.F., Ahn, M.K., Ullas, G.V. and Gu, J.P.: Structure and activity relationships of pyrimidine nucleosides as antiviral agents for human immunodeficiency virus type 1 in peripheral blood mononuclear cells. *J. Med. Chem.* **32**, 612 (1989).
- 9) Tadashi, M., Hiromichi, T., Masanori, B., Hirotuki, H., Walker, R.T., Balzarini, J. and De Clercq E.: A Novel lead for specific anti-HIV-1 agents; 1-[(2-Hydroxy-ethoxy)methyl]-6-(phenylthio)thymine. *J. Med. Chem.* **32**, 2507 (1989).
- 10) Richman, D.D., Fischl, M.A., Grieco, M.H., Gotlieb, M.S., Volberding, P.A., Laskins, O.L., Leedom, J.M., Groopman, J.E., Mildvan, D., Hirsch, M.S., Jackson, G.G., Durack, D.T., Phil, D., Nusinoff-Lehrman, S., The AZT Collaborative Working Group. The toxicity of azidothymidine(AZT) in the treatment of patients with AIDS and AIDS-related complex. *N. Eng. J. Med.* **317**, 192 (1987).
- 11) Larder, B.A., Darby, G. and Richman, D.D.: HIV with reduced sensitivity to zidovudine(AZT) isolated during prolonged therapy. *Science* **243**, 1731 (1989).
- 12) Norbeck, D.W., Spanton, S., Broder, S and Mitsuya, H.: (+)-Dioxolane-T((+)-1-[(2 α ,4 β)-2-(hydroxymethyl)-4-dioxolanyl]thymine. *Tetrahedron Lett.* **30**, 6263 (1989).
- 13) Belleau, B., Dixit, D., Nguyen-Ga, N. and Kraus, J.L.: International Conference on AIDS, Montreal, Canada, June 4-9, 1990, paper no. T.C.O.I.
- 14) Beach, J.W., Jeong, L.S., Alves, A.J., Pohl, D., Kim, H.O., Chang C.-N., Doong, S.-I., Schinazi, R.F., Cheng, Y.-C. and Chu, C.K.: Synthesis of enantioselectively pure (2'R,5S')-(−)-[2-(Hydroxymethyl)-oxathiolan-5-yl]cytosine as a potent antiviral agent against hepatitis B virus(HBV) and human immunodeficiency virus(HIV). *J. Org. Chem.*, **57**, 2217 (1992).
- 15) Chu, C.K., Beach, J.W., Jeong, L.S., Choi, B.G., Co-

- mer, F.I., Alves, A.J. and Schinazi, R.F.: Enantimeric synthesis of (+)-BCH-189[(+)-(2S,5R)-1-[2-hydroxymethyl]-1,3-oxathiolan-5-yl]cytosine] from D-mannose and its anti-HIV activity. *J. org. Chem.* **56**, 6503 (1991).
- 16) Jeong, L.S., Schinazi, R.F., Beach, J.W., Kim, H.O., Nampalli, S., Shamuganathan, K., Alves, A.J., McMillan, A., Chu, C.K. and Mathis, R.: Asymmetric synthesis and biological evaluation of β -L-(2R,5R)- and α -L-(2R,5S)-1,3-oxathiolane-pyrimidine and -purine nucleosides as potential anti-HIV agents. *J. Med. Chem.* **36**, 181 (1993).
- 17) Kim, H.O., Ahn, S.K., Alves, A.J., Beach, J.W., Jeong, L.S., Choi, B.G., Roey, P.V., Schinazi, R.F. and Chu, C.K.: Asymmetric synthesis of 1,3-dioxolane-pyrimidine nucleosides and their anti-HIV ac-
- tivity. *J. Med. Chem.* **35**, 1987 (1992).
- 18) Kim, H.O., Schinazi, R.F., Nampa, S., Shanmuganathan, K., Cannon, D.L., Alves, A.J., Jeong, L.S., Beach, J.W. and Chu, C.K.: 1,3-Dioxolanylpurine nucleosides(2R,4R) and (2R,4S) with selective anti-HIV-1 activity in human lymphocytes. *J. Med. Chem.* **36**, 30 (1993).
- 19) Zottola, M.A., Alonso, R., Vite, G.D. and Fraser-Reid, B.A., Practical efficient large scale synthesis of 1,6-anhydrohexopyranose. *J. Org. Chem.* **54**, 6123 (1989).
- 20) Nuenz, M.T. and Martin, V.S.: Efficient oxidation of phenyl group to carboxylic acids with ruthenium oxide. A Simple synthesis of (R)- γ -caprolactone, the pheromone of *Trogoderma granarium*, *J. Org. Chem.*, **55**, 1928 (1990).